

Федеральное государственное автономное образовательное учреждение
высшего образования
«Московский физико-технический институт (Национальный
исследовательский университет)»
Физтех-школа аэрокосмических технологий
Кафедра вычислительной физики

Направление подготовки: 03.03.01 Прикладные математика и физика (бакалавриат)

Направленность(профиль) подготовки: Вычислительные технологии
математического моделирования

Аппроксимация высокого порядка на нерегулярной
расчётной сетке без использования вспомогательных узлов
на рёбрах и гранях

(бакалаврская работа)

Студент:

Смирнов Иван

Научный руководитель:

Васюков Алексей Викторович

Москва 2022

1 Аннотация

smth

Содержание

1	Аннотация	1
2	Введение	4
2.1	Цель работы	4
2.2	Объект исследования	4
2.3	Сетка в расчётной области	4
3	Теоретические сведения	5
3.1	Дискретизация	5
3.2	Расщепление по пространству	5
3.3	Сеточно - характеристический метод	5
3.4	Аппроксимация значений функции	7
3.4.1	Использование производных в вершинах	7
3.4.2	Обратно взвешенные расстояния(IDW)	8
3.4.3	Безье-поверхности	8
3.4.4	Построение интерполяционного полиному по k ближайшим точкам	9
3.4.5	Используемый метод аппроксимации	9
3.5	Расчёт порядка аппроксимации	11
3.5.1	Аналитическое решение	11
3.5.2	Невязка	11
3.5.3	Нормы ошибки	11
3.5.4	Алгоритм расчёта порядка аппроксимации	12
4	Описание алгоритма	13
4.1	Постановка задачи	13
4.2	Начальные и граничные условия	14
4.3	Нахождение значения функции в точке	14
5	Результаты численного эксперимента	16
5.1	Гладкая шапочка	16
5.2	Быстро спадающая экспонента	18
5.3	Конус	20
5.4	Шапочка-корень	22
5.5	Ступенька	24

6	Анализ результатов и вывод	26
7	Список литературы	27

2 Введение

2.1 Цель работы

Главной задачей данной работы является создание подхода для решения двумерного уравнения переноса на нерегулярных расчётных двумерных сетках с повышенным порядком аппроксимации.

2.2 Объект исследования

В данной работе рассматривается численное решение двумерного уравнения переноса на двумерных нерегулярных расчётных сетках. Решаемое уравнение для функции $u(x, y, t)$ в квадрате $[-1, 1] \times [-1, 1]$ с периодическими граничными условиями имеет следующий вид:

$$\begin{cases} u_t + \lambda_x u_x + \lambda_y u_y = 0 \\ u(x, y, t) \Big|_{t=0} = F(x, y) \\ u(a \cdot T_x + x, b \cdot T_y + y, t) = u(x, y, t) \\ T_x = T_y = 2; a, b \in Z \\ x \in [-1, 1], y \in [-1, 1] \end{cases} \quad (1)$$

Здесь $F(x, y)$ - функция начальных условий; T_x, T_y - период функции $u(x, y, t)$; λ_x, λ_y - скорости по соответствующим направлениям.

2.3 Сетка в расчётной области

Для решения данной задачи обычно используется сетка из треугольников в области.

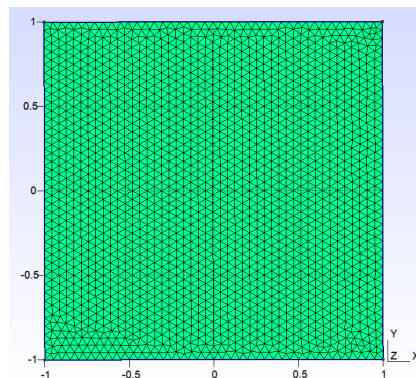


Рис. 1: Пример сгенерированной сетки, scale = 0.05

3 Теоретические сведения

3.1 Дискретизация

Для дискретизации уравнения по времени используется равномерная сетка по времени с шагом τ , такая что $T = N \cdot \tau$. Где число N - количество слоёв по времени.

На каждом слое по времени используется неравномерная сетка из треугольников, генерируемая при помощи таких алгоритмов как *Delaunay*, *MeshAdapt*, *Frontal-Delanay*.

3.2 Расщепление по пространству

Сначала задача расщепляется по пространственным переменным на два независимых уравнения, решаемых последовательно на каждой временной итерации.

$$\begin{cases} \frac{\partial u}{\partial t} + \lambda_x \cdot \frac{\partial u}{\partial x} = 0 \\ \frac{\partial u}{\partial t} + \lambda_y \cdot \frac{\partial u}{\partial y} = 0 \end{cases}$$

Для решения каждого из получившихся одномерных уравнений переноса с постоянными коэффициентами, используется классический подход - *сеточно-характеристический метод*.

3.3 Сеточно - характеристический метод

Рассмотрим данный метод на примере уравнения для x координаты относительно $w(x, y, t)$:

$$\frac{\partial w}{\partial t} + \lambda_x \cdot \frac{\partial w}{\partial x} = 0$$

Он заключается в сведении дифференциального уравнения первого порядка в частных производных к обыкновенному дифференциальному уравнению вдоль характеристики:

$$\frac{dx}{dt} = \lambda_x$$

Тогда:

$$\frac{\partial w}{\partial t} + \lambda_x \cdot \frac{\partial w}{\partial x} = 0 \rightarrow \frac{\partial w}{\partial t} + \frac{dx}{dt} \cdot \frac{\partial w}{\partial x} = 0 \rightarrow \frac{dw}{dt} = 0$$

То есть вдоль характеристики $dx/dt = \lambda_x$ решение не зависит от времени:

$$w(x, y, t) \Big|_{dx/dt=\lambda_x} = w(x, y)$$

Для нахождения значения функции в момент времени t^{n+1} , опускается характеристика (прямая, задаваемая уравнением $x = \lambda_x \cdot t$) на предыдущий слой по времени t^n . В точке пересечения (x_0, y_0, t^n) этой прямой с плоскостью $t = t^n = \tau \cdot n = const$ аппроксимируется значение функции, с использованием известных значений в точках на данном слое по времени. Далее это значение переносится в точку $(x_0 + \lambda_x \cdot \tau, y_0, t^{n+1})$.

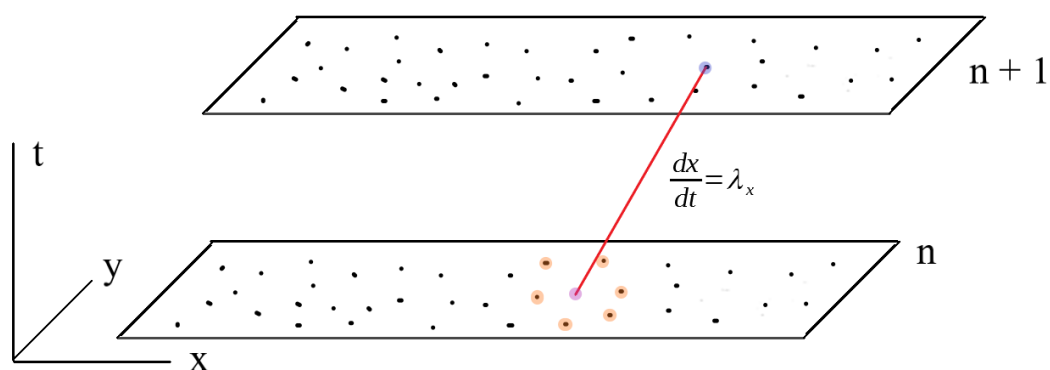


Рис. 2: Пример действия сеточно-характеристического метода

3.4 Аппроксимация значений функции

Для аппроксимации значения функции на предыдущем слое по времени в точке, полученной при помощи сеточно-характеристического метода можно использовать несколько подходов.

3.4.1 Использование производных в вершинах

- Определяется треугольник, в который попадает характеристика, опущенная на предыдущий слой по времени.

- Необходимо определить коэффициенты интерполяционного полинома

$$P(x, y) = \alpha \cdot x^2 + \beta \cdot y^2 + \gamma \cdot xy + \delta \cdot x + \epsilon \cdot y + \zeta$$

$$\alpha, \beta, \gamma, \delta, \epsilon, \zeta \in \mathbb{R}$$

Известны значения функции u в точках $u_1 = u(x_1, y_1)$, $u_2 = u(x_2, y_2)$, $u_3 = u(x_3, y_3)$

- Составляется система уравнений:

$$\left\{ \begin{array}{l} P(x_1, y_1) = u_1 \\ P(x_2, y_2) = u_2 \\ P(x_3, y_3) = u_3 \\ \left. \frac{\partial P(x, y)}{\partial x} \right|_{(x_1, y_1)} = (u_1)'_x \\ \left. \frac{\partial P(x, y)}{\partial x} \right|_{(x_2, y_2)} = (u_2)'_x \\ \left. \frac{\partial P(x, y)}{\partial x} \right|_{(x_3, y_3)} = (u_3)'_x \\ \left. \frac{\partial P(x, y)}{\partial y} \right|_{(x_1, y_1)} = (u_1)'_y \\ \left. \frac{\partial P(x, y)}{\partial y} \right|_{(x_2, y_2)} = (u_2)'_y \\ \left. \frac{\partial P(x, y)}{\partial y} \right|_{(x_3, y_3)} = (u_3)'_y \end{array} \right.$$

- Видно, что получается переопределённая система (9 уравнений, 6 неизвестных).

3.4.2 Обратнo взвешенные расстояния(IDW)

- Выбирается какая-то область вокруг точки, в которой(точке) необходимо определить значение функции.

Область - окружность определённого радиуса, либо иная геометрия по характеру задачи.

- Точки с данными внутри области участвуют в расчётах. Значение функции в точке вычисляется по следующей формуле:

$$f = \sum_i u_i \cdot \omega_i, \quad \omega_i = d^{-p}$$

Где ω_i - весовой коэффициент для каждой используемой точки с данными, d - расстояние от точки с неизвестным значением до данной, $p > 1$ - степень - подбирается экспериментально.

3.4.3 Безье-поверхности

- Параметризуем область $(x, y) \longrightarrow (u, v)$ так, чтобы $(u, v) = [0, 1] \times [0, 1]$.
- Определим поверхность Безье порядка (n, m) (задаётся $(n + 1) \cdot (m + 1)$ контрольными точками $P_{i,j}$):

$$P(u, v) = \sum_{i=0}^n \sum_{j=0}^m B_i^n(u) \cdot B_j^m(v) \cdot P_{i,j}$$

- B - многочлены Берштейна:

$$B_i^n(u) = \frac{n!}{i!(n-i)!} \cdot u^i \cdot (1-u)^{n-1}$$

- Есть готовые реализации данного подхода, например алгоритм Клафа-Точера

`scipy.interpolate.CloughTocher2DInterpolator`

3.4.4 Построение интерполяционного полинома по k ближайшим точкам

- Необходимо определить коэффициенты интерполяционного полинома

$$P(x, y) = \alpha \cdot x^2 + \beta \cdot y^2 + \gamma \cdot xy + \delta \cdot x + \epsilon \cdot y + \zeta$$

$$\alpha, \beta, \gamma, \delta, \epsilon, \zeta \in \mathbb{R}$$

Видно, что полином 2 порядка требует 6 коэффициентов, для лучшей точности можно использовать полином 3 порядка, для которого понадобится 10 коэффициентов.

- Находятся ближайшие 6 точек к данной и по значениям в них строится следующая система:

$$\begin{cases} P(x_1, y_1) = u_1 \\ P(x_2, y_2) = u_2 \\ P(x_3, y_3) = u_3 \\ P(x_4, y_4) = u_4 \\ P(x_5, y_5) = u_5 \\ P(x_6, y_6) = u_6 \end{cases} \quad (2)$$

Это также можно записать в виде: $A \cdot \vec{x} = \vec{u}$, где \vec{x} - вектор, составленный из выбранных ближайших точек, A - матрица из коэффициентов интерполяционного полинома, \vec{u} - вектор, составленный из значений функции в выбранных точках.

- Решая эту СЛАУ, находятся необходимые коэффициенты, и определяется значение функции в требуемой точке.

3.4.5 Используемый метод аппроксимации

В работе используется именно последний подход. Он хорошо действует на функциях начальных условий из класса C^1 , но хуже на разрывных - если рвётся производная функции или сама функция.

Для решения этой проблемы применялся подход с размытием места разрыва. А именно на первых итерациях по времени определялись места разрыва, и на них проводилась аппроксимация первым порядком. Места разрыва оценивались по первым и вторым производным функции (полученным из формального дифференцирования интерполяционного полинома второй степени). То есть алгоритм был следующим:

Algorithm 1 Размытие разрывного решения

```
1: while  $n < N$  do
2:   for all Points do
3:     P2 = Make2orderPolinom( $n$ , Point)
4:     Der = DetermineDerivatives(P2)
5:     if RoughPoint(Der) and  $n < N_0$  then
6:       P1 = Make1orderPolinom( $n$ , Point)
7:       CalculateValue(P1, Point)
8:     else
9:       CalculateValue(P2, Point)
```

- Количество первых шагов по времени N_0 , на которых производилось размытие решений, определялось экспериментально, но не превышало 20% от общего времени расчёта.
- Условия разрывности RoughPoint() также подбирались самостоятельно. Сначала на разрывных решениях строилась картина производных, затем визуально определялись места разрыва, и из значений производных в этих точках составлялся критерий разрыва.

К сожалению размытие начальных условий не давало существенных улучшений на разрывных решениях, но портило гладкие задачи. Поэтому было решено отказаться от этого и использовать второй порядок точности на всех решениях.

Главная особенность подхода «Построение интерполяционного полиному по k ближайшим точкам» - не используются вспомогательные точки на рёбрах или гранях сетки в расчётной области. В задаче используются только узлы данной сетки.

3.5 Расчёт порядка аппроксимации

3.5.1 Аналитическое решение

Для рассматриваемой задачи существует аналитическое решение:

$$u_{analytic}(x, y, t) = F(x - \lambda_x \cdot t, y - \lambda_y \cdot t)$$

3.5.2 Невязка

Численное решение связано с точным аналитическим решением следующим образом:

$$u_{numeric} = u_{analytic} + R(h)$$

Где $R(h)$ - невязка - функция от мелкости пространственной сетки h .

В качестве h используется:

- Обратный масштаб сетки $1/\text{scale}$ - (scale - наибольший линейный размер ячеек).
- Обратный корень количества точек сетки $1/\sqrt{\text{dots num}}$.

Предполагается, что:

$$R(h) = h^p + o(h^p)$$

Таким образом, порядок аппроксимации p может быть определён следующим образом:

$$\Delta = |u_{numeric} - u_{analytic}| = h^p + o(h^p) \rightarrow \ln \Delta / \ln h \simeq p$$

3.5.3 Нормы ошибки

Для определения Δ используются несколько норм векторов (предполагается что значения в точках на каждом слое по времени можно занумеровать):

- Максимум модуля ошибки:

$$\Delta_1 = \Delta_\infty = \max(|u_{numeric}[i] - u_{analytic}[i]|).$$

- Среднее арифметическое модулей ошибок:

$$\Delta_2 = \sum_{i=0}^N |u_{numeric}[i] - u_{analytic}[i]| / N$$

- Евклидова норма:

$$\Delta_3 = \sqrt{\sum_{i=0}^N (u_{numeric}[i] - u_{analytic}[i])^2 / N}$$

3.5.4 Алгоритм расчёта порядка аппроксимации

То есть для определения порядка сходимости решения строилось аналитическое решение в узлах сетки, затем вычислялись численные значения в этих же узлах. После этого рассчитывался вектор ошибки(невязки) - предполагается что все точки уникальные(их можно занумеровать и поместить по порядку в вектор). Определяются нормы этого вектора, как написано в предыдущем пункте. Такие действия проделываются на каждом слое по времени, и в итоге по результатам норм векторов ошибок на нескольких сетках(с известными величинами шага по времени h) строится прямая в координатах $(\ln \Delta, \ln h)$ - по её наклону определяется порядок аппроксимации p .

Данную прямую можно построить с помощью метода наименьших квадратов. Пусть прямая имеет вид: $y = a + p \cdot h$. Тогда наилучшая прямая(в смысле $\sum_i |y_i - \ln \Delta_i| \rightarrow \min$) будет при:

•

$$p = \frac{\langle \ln h_i \cdot \ln \Delta_i \rangle - \langle \ln h_i \rangle \cdot \langle \ln \Delta_i \rangle}{\langle \ln^2 h_i \rangle - \langle \ln h_i \rangle^2}$$

•

$$a = \langle \ln \Delta_i \rangle - p \langle \ln h_i \rangle$$

Где скобками $\langle \dots \rangle$ обозначено среднее арифметическое значение выражения. Реально порядок аппроксимации оценивался не на всех итерациях по времени, а только на последнем слое.

4 Описание алгоритма

4.1 Постановка задачи

Перед расчётом необходимо определить функцию начальных условий $F(x, y)$, числа λ_x, λ_y , шаг по времени τ , количество шагов по времени N , построить сетку в рассматриваемой области.

На каждом слое по времени определяются значения функции в точках сетки (также предполагается, что все точки можно занумеровать - их количество не превосходит M).

Algorithm 2 Постановка задачи

```
1: TimeLays[N][M]
2: while  $n < N$  do
3:    $t_{cur} = \tau \cdot n$ 
4:   for all Points do
5:     if  $n == 0$  then
6:       TimeLays[0][Point] = InitialCondition(Point)
7:     else
8:       TimeLays[n][Point] = CalculateFunctionValueInPoint(n, Point)
9:    $n = n + 1$ 
```

Массив TimeLays[N][M] содержит значения искомой функции в точках сетки

(Point = (x, y)) на каждом слое по времени, при этом используются:

- функции начальных и граничных условий (в данной работе граничные условия для всех задач одни, а начальные условия различаются)
- функция вычисления значения функции на n -ом слое по времени

4.2 Начальные и граничные условия

Для решения поставленной задачи с заданным начальным условием $F(x, y)$ и периодическими граничными условиями с периодом $T = T_x = T_y = 2$ в области $[-1, 1] \times [-1, 1]$, применяются следующие условия:

Algorithm 3 Начальные и граничные условия

```
1: function InitialCondition((x, y))
2:   return F(x, y)
3: function BoundaryConditions((x, y))
4:    $T = T_x = T_y = 2$ 
5:    $x = x - \text{sign}(x) \cdot T_x \cdot \text{int}(x/T_x)$ 
6:   if  $|x| \geq 1$  then
7:      $x = x - \text{sign}(x) \cdot T_x$ 
8:    $y = y - \text{sign}(y) \cdot T_y \cdot \text{int}(y/T_y)$ 
9:   if  $|y| \geq 1$  then
10:     $y = y - \text{sign}(y) \cdot T_y$ 
11:  return (x, y)
```

4.3 Нахождение значения функции в точке

- Для нахождения значения функции в точке (x, y) используется точка (x_0, y_0) падения характеристики на слой по времени $t_{cur} - \tau$ с учётом периодических граничных условий.
- В данной работе используется структура хранения данных *K-D Tree* со встроенным поиском ближайших соседей.
- Так как найденные *k-nearest* точки располагаются близко к (x_0, y_0) , применяется переход к локальной системе координат (отображение на единичный квадрат) вблизи этой точки.
- Число k выбирается несколько больше, чем необходимое количество точек для выбранного порядка аппроксимации, для возможности перебрать их комбинации и выбрать ту, которая даёт наибольший детерминант матрицы системы.

Algorithm 4 Определение значения функции в точке

```
1: function CalculateFunctionValueInPoint(n, (x, y))  
2:    $x_0 = x - \lambda_x \cdot \tau$   
3:    $y_0 = y - \lambda_y \cdot \tau$   
4:    $(x_0, y_0) = \text{BoundaryConditions}((x_0, y_0))$   
5:   dots = FindKNearest((x0, y0))  
6:   values = GetValuesFromTimeLay(n, dots)  
7:   w = InterpolateFunctionValue(dots, values, (x0, y0))  
8:   return w
```

5 Результаты численного эксперимента

Расчётная область квадрат $[-1, 1] \times [-1, 1]$. Количество слоёв по времени $N = 51$, время моделирования $T = 1$, постоянный шаг по времени $\tau = T/(N - 1) = 0.02$.

Скорости распространения возмущений по осям OX и OY соответственно равны: $\lambda_x = -2$, $\lambda_y = 5$.

5.1 Гладкая шапочка

Начальное условие

$$F(x, y) = \cos^4(x \cdot \pi/2) \cdot \cos^4(y \cdot \pi/2) \quad (3)$$

Визуализация решения

Ниже приведено решение в разные моменты времени, указан номер шага по времени $n \in [0, N - 1]$ и фактическое время $t = n \cdot \tau$.

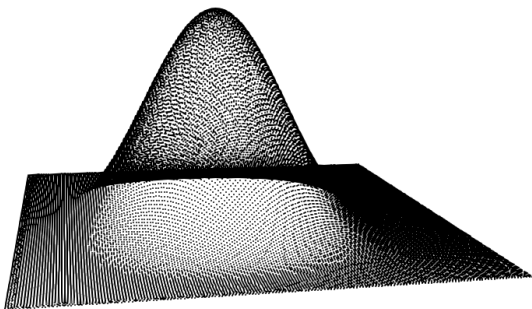


Рис. 3: $t = 0.0$, $n = 0$

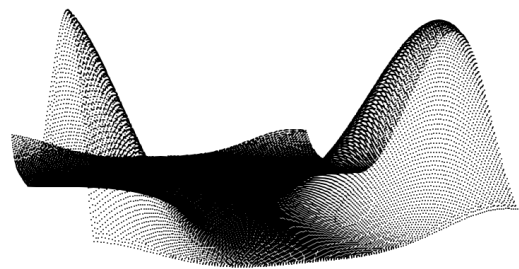


Рис. 4: $t = 0.22$, $n = 11$

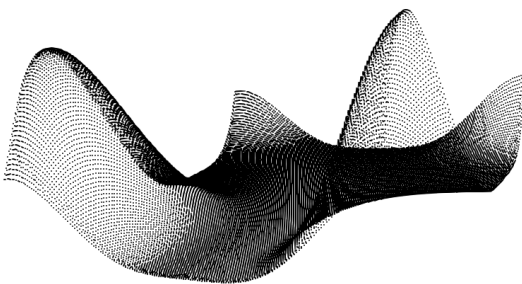


Рис. 5: $t = 0.52$, $n = 26$

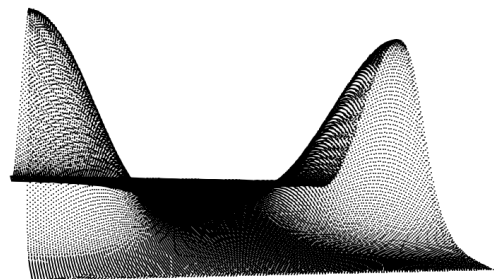


Рис. 6: $t = 1.0$, $n = 50$

Порядок сходимости

При использовании в качестве аналога шага по пространству $1/\sqrt{\text{dots number}}$ получены наиболее репрезентативные результаты порядка сходимости, ниже приведён график для второй и третьей норм.

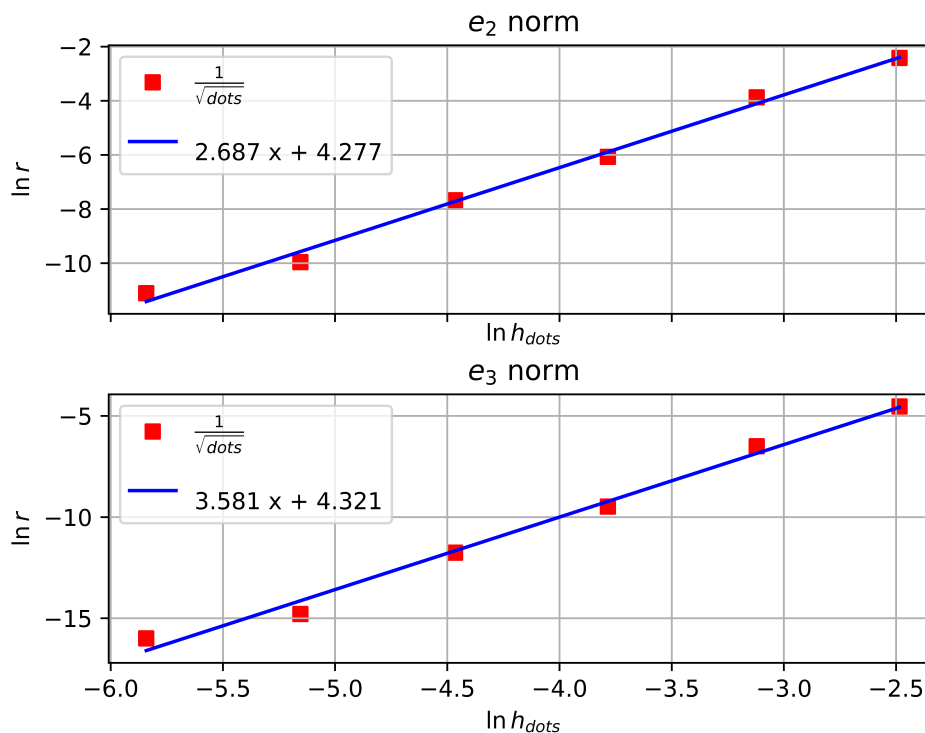


Рис. 7: График порядка сходимости численного решения для начальных условий типа «гладкая шапочка». Вторая норма - порядок сходимости 2.687, третья 3.581.

Результаты всех вычисляемых норм проиллюстрированы в таблице ниже. В первом столбце в качестве шага по пространству используется $h_{dots} = 1/\sqrt{\text{dots number}}$, во втором $h_{scale} = 1/\text{scale}$

	$1/\sqrt{\text{dots number}}$	$1/\text{scale}$
e_1	1.914	1.864
e_2	2.687	2.610
e_3	3.581	3.479

Таблица 1: Таблица с результатами расчётов порядка сходимости с помощью различных типов норм и аналогов шагов по пространству для начальных условий типа «гладкая шапочка».

5.2 Быстро спадающая экспонента

Начальное условие

$$F(x, y) = \begin{cases} \exp(-84 \cdot (x^2 + y^2)), & (x, y) \in [-0.2, 0.2] \times [-0.2, 0.2] \\ 0, & (x, y) \notin [-0.2, 0.2] \times [-0.2, 0.2] \end{cases} \quad (4)$$

Визуализация решения

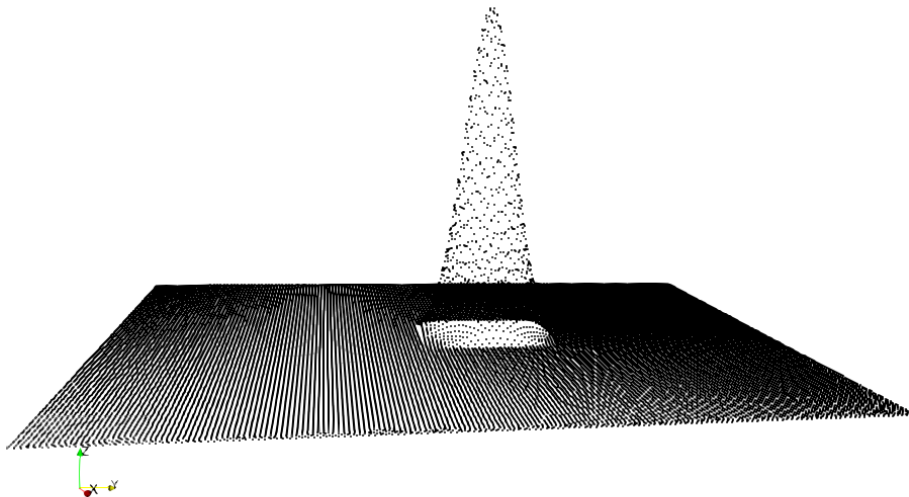


Рис. 8: Быстро спадающая экспонента в начальный момент времени

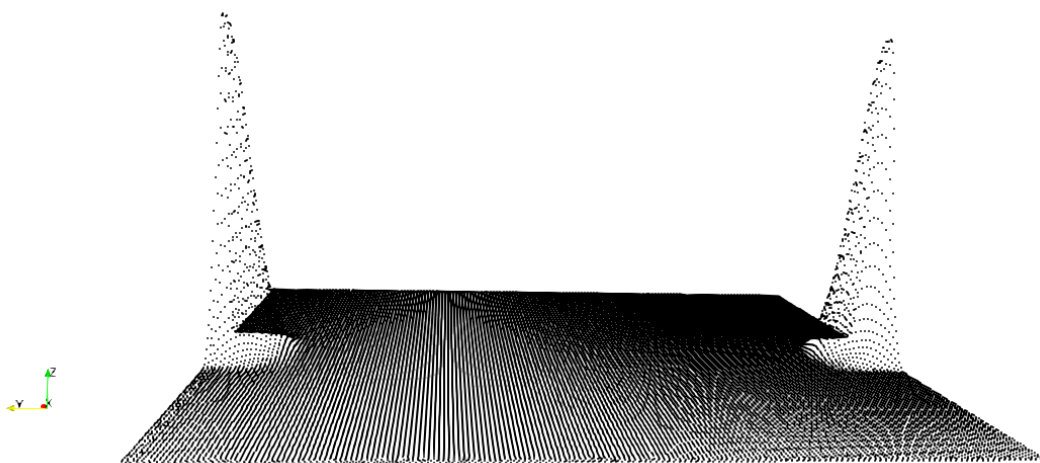


Рис. 9: Быстро спадающая экспонента в конечный момент времени

Порядок сходимости

При использовании в качестве аналога шага по пространству $1/\sqrt{\text{dots number}}$ получены наиболее репрезентативные результаты порядка сходимости, ниже приведён график для второй и третьей норм.

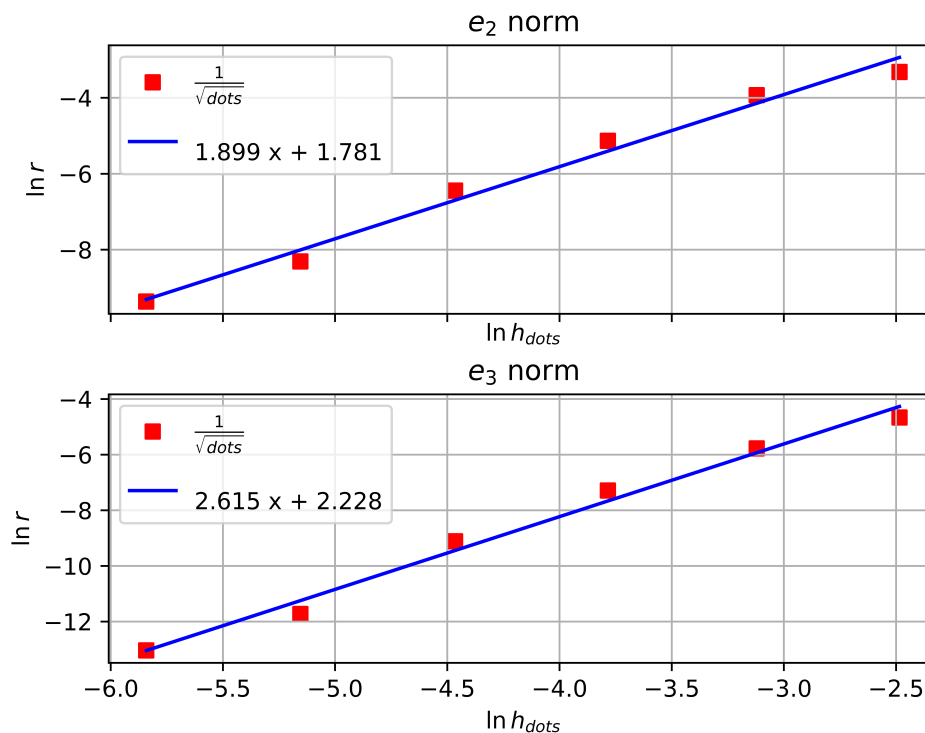


Рис. 10: График порядка сходимости численного решения для начальных условий типа «быстро спадающая экспонента». Вторая норма - порядок сходимости 1.899, третья 2.615.

Результаты всех вычисляемых норм проиллюстрированы в таблице ниже. В первом столбце в качестве шага по пространству используется $h_{dots} = 1/\sqrt{\text{dots number}}$, во втором $h_{scale} = 1/\text{scale}$

	$1/\sqrt{\text{dots number}}$	$1/\text{scale}$
e_1	1.242	1.203
e_2	1.899	1.842
e_3	2.615	2.537

Таблица 2: Таблица с результатами расчётов порядка сходимости с помощью различных типов норм и аналогов шагов по пространству для начальных условий типа «быстро спадающая экспонента».

5.3 Конус

Начальное условие

$$F(x, y) = \begin{cases} (1 - 5 \cdot |x|) \cdot (1 - 5 \cdot |y|), & (x, y) \in [-0.2, 0.2] \times [-0.2, 0.2] \\ 0, & (x, y) \notin [-0.2, 0.2] \times [-0.2, 0.2] \end{cases} \quad (5)$$

Визуализация решения

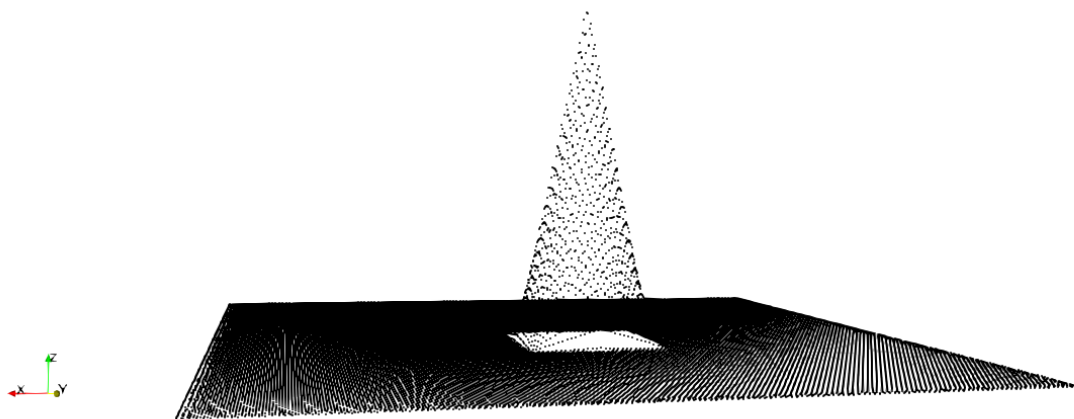


Рис. 11: Конус в начальный момент времени

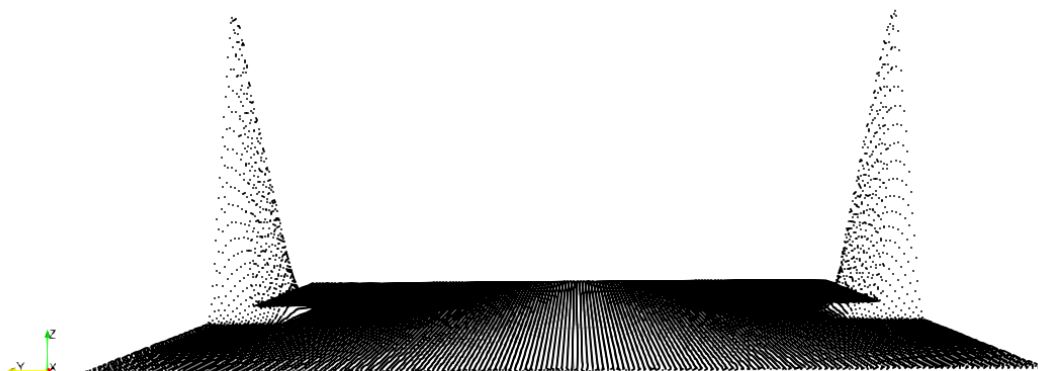


Рис. 12: Конус в конечный момент времени

Порядок сходимости

При использовании в качестве аналога шага по пространству $1/\sqrt{\text{dots number}}$ получены наиболее репрезентативные результаты порядка сходимости, ниже приведён график для второй и третьей норм.

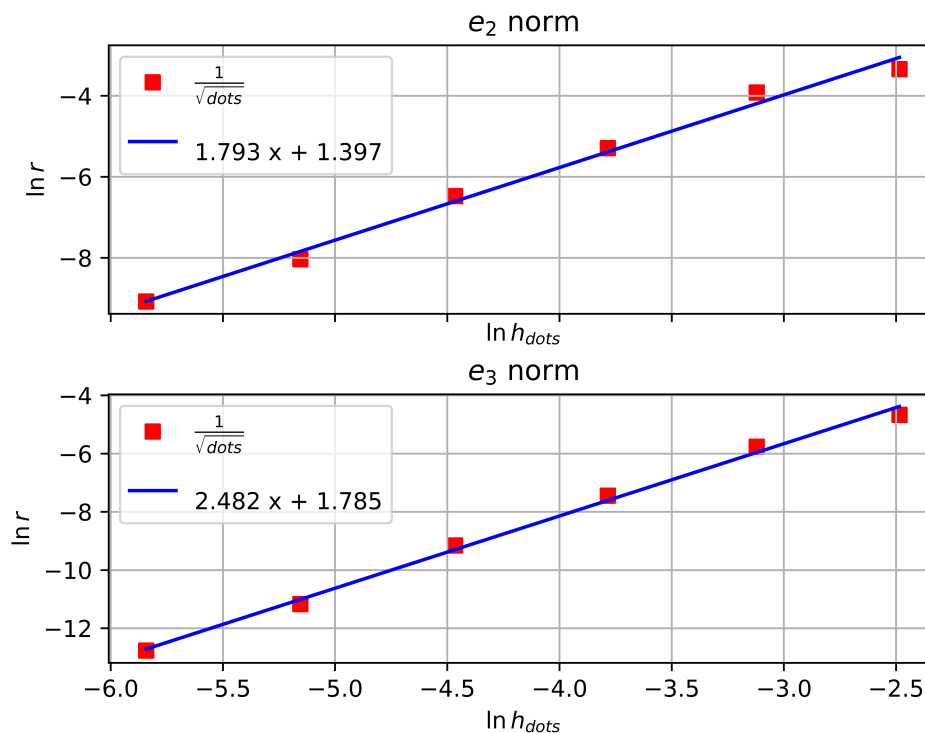


Рис. 13: График порядка сходимости численного решения для начальных условий типа «конус». Вторая норма - порядок сходимости 1.793, третья 2.482.

Результаты всех вычисляемых норм проиллюстрированы в таблице ниже. В первом столбце в качестве шага по пространству используется $h_{dots} = 1/\sqrt{\text{dots number}}$, во втором $h_{scale} = 1/\text{scale}$

	$1/\sqrt{\text{dots number}}$	$1/\text{scale}$
e_1	0.888	0.861
e_2	1.793	1.739
e_3	2.482	2.408

Таблица 3: Таблица с результатами расчётов порядка сходимости с помощью различных типов норм и аналогов шагов по пространству для начальных условий типа «конус».

5.4 Шапочка-корень

Начальное условие

$$F(x, y) = \begin{cases} \sqrt{(1 - 25 \cdot x^2) \cdot (1 - 25 \cdot y^2)}, & (x, y) \in [-0.2, 0.2] \times [-0.2, 0.2] \\ 0, & (x, y) \notin [-0.2, 0.2] \times [-0.2, 0.2] \end{cases} \quad (6)$$

Визуализация решения

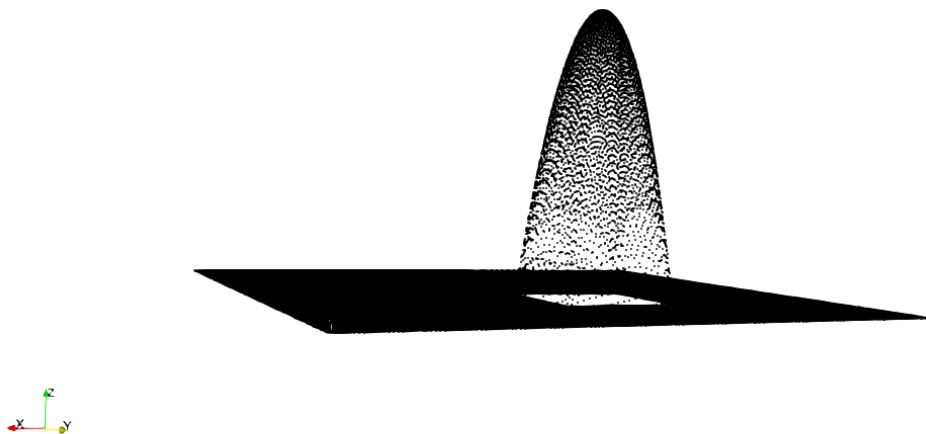


Рис. 14: Шапочка-корень в начальный момент времени

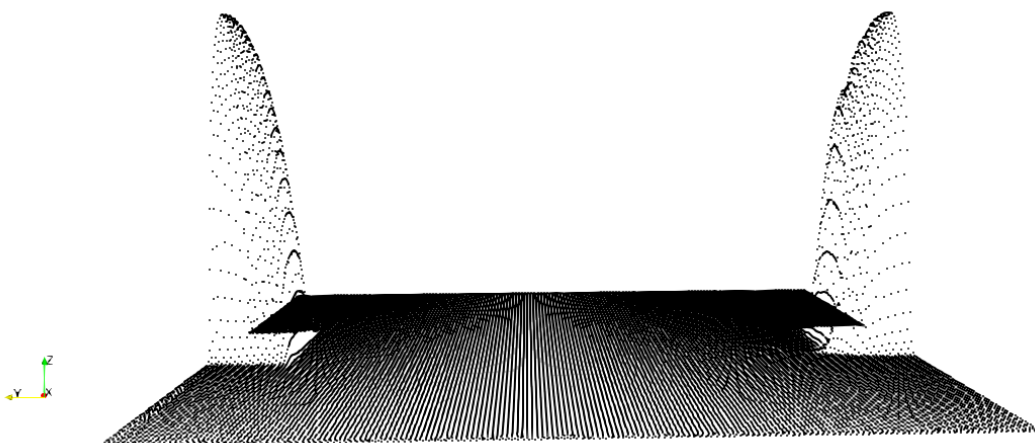


Рис. 15: Шапочка-корень в конечный момент времени

Порядок сходимости

При использовании в качестве аналога шага по пространству $1/\sqrt{\text{dots number}}$ получены наиболее репрезентативные результаты порядка сходимости, ниже приведён график для второй и третьей норм.

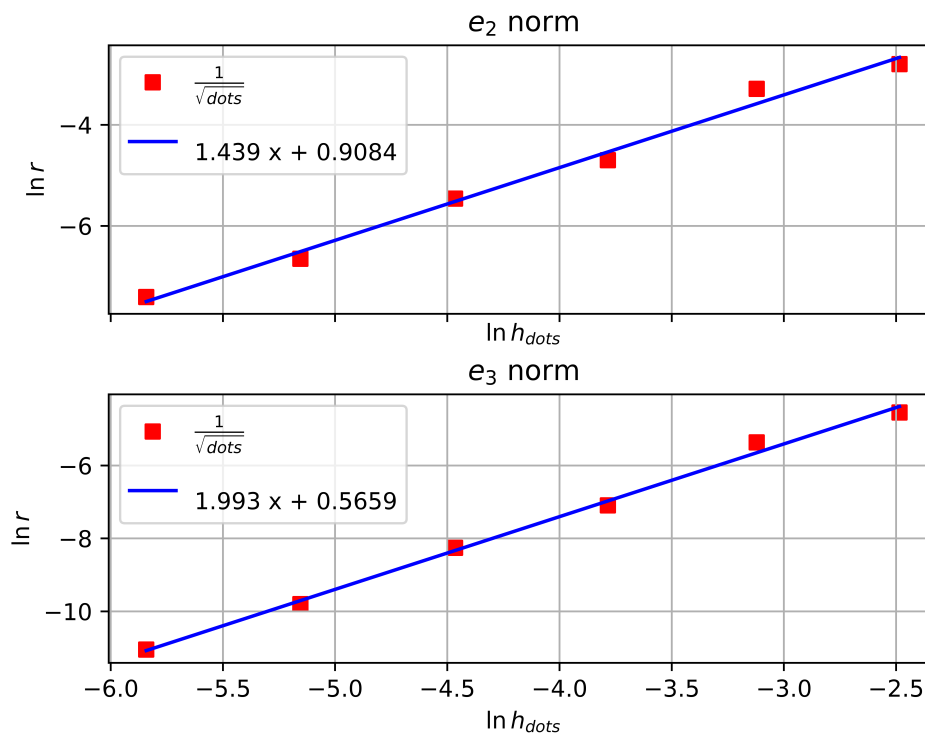


Рис. 16: График порядка сходимости численного решения для начальных условий типа «шапочка-корень». Вторая норма - порядок сходимости 1.439, третья 1.993.

Результаты всех вычисляемых норм проиллюстрированы в таблице ниже. В первом столбце в качестве шага по пространству используется $h_{\text{dots}} = 1/\sqrt{\text{dots number}}$, во втором $h_{\text{scale}} = 1/\text{scale}$

	$1/\sqrt{\text{dots number}}$	$1/\text{scale}$
e_1	0.500	0.487
e_2	1.439	1.397
e_3	1.993	1.935

Таблица 4: Таблица с результатами расчётов порядка сходимости с помощью различных типов норм и аналогов шагов по пространству для начальных условий типа «шапочка-корень».

5.5 Ступенька

Начальное условие

$$F(x, y) = \begin{cases} 1, \max(|x|, |y|) \leq 0.5 \\ 0, \max(|x|, |y|) > 0.5 \end{cases} \quad (7)$$

Визуализация решения

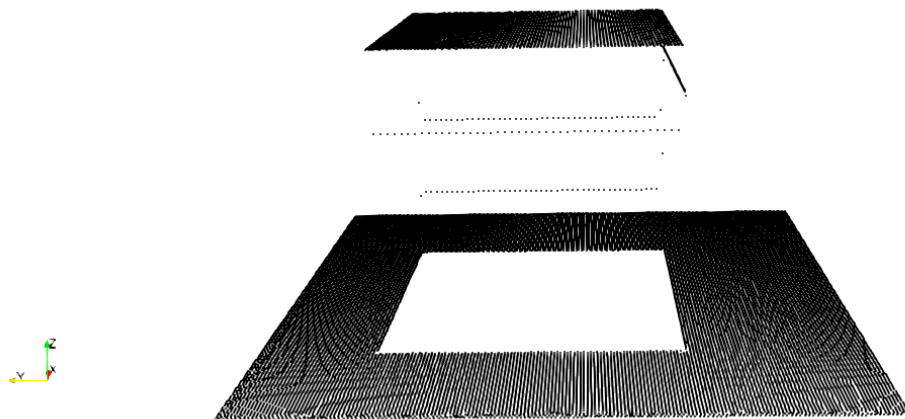


Рис. 17: Ступенька после первого шага по времени

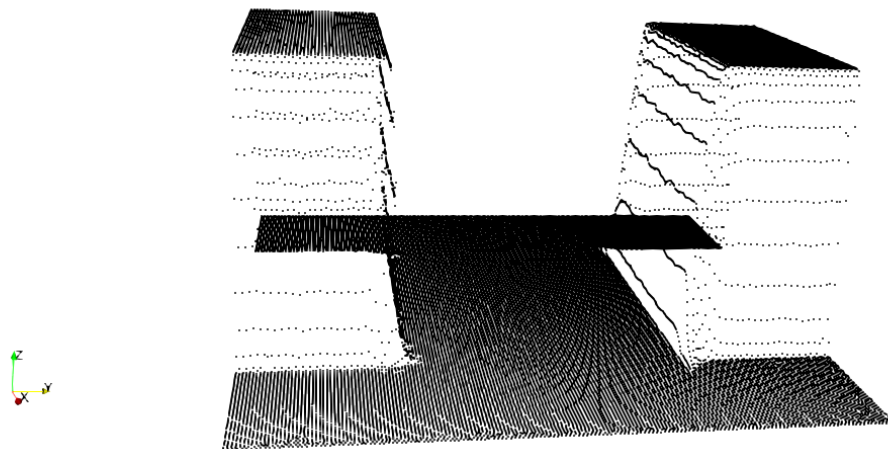


Рис. 18: Ступенька в конечный момент времени

Порядок сходимости

При использовании в качестве аналога шага по пространству $1/\sqrt{\text{dots number}}$ получены наиболее репрезентативные результаты порядка сходимости, ниже приведён график для второй и третьей норм.

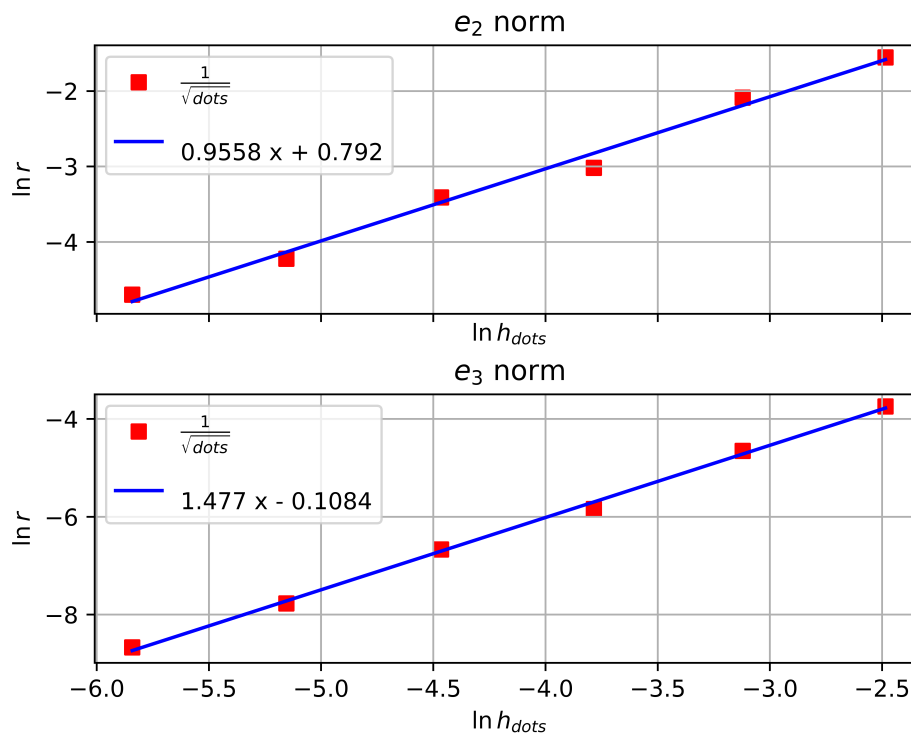


Рис. 19: График порядка сходимости численного решения для начальных условий типа «ступенька». Вторая норма - порядок сходимости 0.956, третья 1.477.

Результаты всех вычисляемых норм проиллюстрированы в таблице ниже. В первом столбце в качестве шага по пространству используется $h_{dots} = 1/\sqrt{\text{dots number}}$, во втором $h_{scale} = 1/\text{scale}$

	$1/\sqrt{\text{dots number}}$	$1/\text{scale}$
e_1	-0.003	-0.002
e_2	0.956	0.929
e_3	1.477	1.435

Таблица 5: Таблица с результатами расчётов порядка сходимости с помощью различных типов норм и аналогов шагов по пространству для начальных условий типа «ступенька».

6 Анализ результатов и вывод

smth

7 Список литературы

smth